

بررسی وابستگی فرکانسی کاهندگی موج لرزه‌ای در شرق- شمال شرق ایران

سمیه احمدزاده^۱، فرحتا منصوری قوام‌آبادی^۲ و غلام جوان دلوئی^{۳*}

^۱ پژوهشگر پسادکتری، پژوهشگاه بین المللی زلزله شناسی و مهندسی زلزله، صندوق حمایت از پژوهشگران و فناوران کشور، تهران، ایران

^۲ دانش آموخته کارشناسی ارشد زلزله شناسی، پژوهشگاه بین المللی زلزله شناسی و مهندسی زلزله، تهران، ایران

^۳ دانشیار، پژوهشگاه بین المللی زلزله شناسی و مهندسی زلزله، تهران، ایران

(دریافت: ۱۴۰۱/۰۶/۲۰، پذیرش: ۱۴۰۱/۰۶/۲۰)

چکیده

در این پژوهش با استفاده از شکل موج زمین لرزه‌های شرق- شمال شرق ایران و بر اساس روش تکپراکنش به عقب، پارامتر کاهندگی ضریب کیفیت (امواج دنبله‌ای) محاسبه شده است. برای بررسی و تحلیل، از لرزه‌نگاشت سه مؤلفه‌ای زمین لرزه‌های یک دهه اخیر شرق کشور استفاده شده است که در ایستگاه‌های لرزه‌نگاری کوتاه‌دوره و باندپهن مستقر در استان‌های خراسان شمالی، رضوی و جنوی ثبت شده‌اند. رابطه ضریب کیفیت برای پهنه شمال شرق ایران مطابق پارامترهای بهینه‌شده متناسب با بانکداده پژوهش حاضر برابر با $Q_c = 125f^{0.76}$ محاسبه و تأثیر پارامترهای مختلف در برآورد ضریب کیفیت امواج دنبله‌ای بررسی شده است. مقادیر تخمین‌زده شده $Q_0 = 125$ در پهنه شرق و شمال شرق کشور با مقادیر محاسبه شده برای سایر مناطق فعال ایران و جهان همخوانی خوبی دارد. نتایج این پژوهش بیانگر وابستگی فرکانسی ضریب کاهندگی موج در ناحیه شرق- شمال شرق کشور است. با توجه به گستردنگی بازه زمین لرزه‌های استفاده شده در این مطالعه که در شرق و شمال شرق کشور رخ داده‌اند، نتایج حاکی از فعالیت لرزه‌ای و استمرار آن در این ناحیه است.

واژه‌های کلیدی: امواج دنبله‌ای، ضریب کیفیت، روش تکپراکنش به عقب، خراسان

۱ مقدمه

پس از امواج S شروع می‌شوند. این امواج متشکل از امواج ناهمگنی هستند که ناهمگنی‌ها سبب پراکندگی آنها شده‌اند. تصور بر این است که دامنه امواج دنباله‌ای تنها به دلیل تضعیف ناشی از پدیده پراکنش و گسترش هندسی کاهش می‌یابد. از هنگامی که آکی و چوئت (۱۹۷۵) این مفهوم را معرفی کردند، پژوهشگران در سراسر جهان، بارها میرایی لرزه‌ای را با استفاده از افت امواج دنباله‌ای توصیف و ارزیابی کردند. اغلب برای تخمین پارامتر کیفیت، روش تک‌پراکنش به عقب به کاربرده‌می‌شود. در این روش فرض می‌شود چشمۀ لرزه‌ای و ایستگاه در یک نقطه واقع شده‌اند و امواج دنباله‌ای، ناشی از یک مرحله پراکنش با زاویه ۱۸۰ درجه هستند. با فرض اینکه امواج دنباله‌ای، امواج S تک‌پراکنش در فواصل کوتاه چشمۀ گیرنده هستند، افت دامنه امواج دنباله‌ای ($A(f,t)$) بر حسب فرکانس مرکزی f و زمان گذشت t (lapse time) با رابطه (۱) بیان می‌شود (آکی و چوئت، ۱۹۷۵):

$$(1) \quad A(f,t) = t^{-\beta} A_0 e^{\frac{-\pi f t}{Q_c(f)}}$$

که β پارامتر گسترش هندسی است و معمولاً مقدار آن برای امواج پیکری P و S برابر واحد و برای امواج سطحی برابر ۰/۵ فرض می‌شود. A_0 دامنه اولیه و Q_c ضریب کیفیت امواج دنباله‌ای است. رابطه (۱) را با استفاده از لگاریتم طبیعی می‌توان به صورت زیر نوشت:

$$(2) \quad \ln[A(f,t)] + \beta \ln(t) = \ln(A_0) - \frac{tf\pi}{Q_c(f)}$$

با رسم عبارت $\ln[A(f,t)] + \beta \ln(t)$ بر حسب t برای یک فرکانس مرکزی معین (با استفاده از فیلتر میان‌گذر حول فرکانس مرکزی)، خط مستقیمی با شیب $-\frac{f\pi}{Q_c(f)}$ به دست می‌آید. $Q_c(f)$ را می‌توان با روش حداقل مربعات تعیین کرد. عبارت فوق با محاسبه مقادیر ریشه میانگین مربعی (rms) در یک پنجره در حال اجرا با طول مشخص و شروع در یک زمان مشخص (زمان گذشت)

هنگام انتشار موج لرزه‌ای در محیط‌های همگن همسانگرد، افت انرژی رخ نمی‌دهد و حرکت موجی که بر اثر منبع ارتعاشی ایجاد شده است، تا بی‌نهایت ادامه خواهد داشت. در مدل واقعی زمین، به دلیل وجود ساختارهای زمین‌شناختی ناهمگن و میرایی ذاتی، از میزان انرژی موج هنگام عبور از درون محیط کاسته می‌شود. یکی از روش‌های متدالوی محاسبه میزان تضعیف دامنه موج، روش مدل‌سازی کاهندگی امواج با استفاده از ضریب کیفیت است. کاهندگی موج لرزه‌ای با کمیت بدون بعد ضریب کیفیت (Q) اندازه‌گیری می‌شود. این پارامتر که بیانگر نرخ کاهش دامنه موج در مسیر انتشار است، تابعی از فرکانس و طول پنجره زمانی برای تحلیل نگاشت، خصوصیات زمین‌شناختی در مجاورت ایستگاه لرزه‌نگاری و فعالیت زمین‌ساختی منطقه است. امواج دنباله‌ای ثبت شده در ایستگاه‌های لرزه‌نگاری، دربر گیرنده ویژگی‌های ناشی از ناهمگنی‌های تصادفی و نامنظم درون زمین هستند. مطالعه میزان این ناهمگنی‌ها در محیط انتشار با استفاده از امواج دنباله‌ای، که ابزاری کاربردی در زلزله‌شناسی هستند، توجه پژوهشگران را به خود جلب کرده است. در این پژوهش از روش تک‌پراکنش به عقب برای محاسبه ضریب کاهندگی امواج دنباله‌ای لرزه‌نگاشتهای زمین‌لرزه‌های یک دهه اخیر ناحیه شرق- شمال شرق کشور استفاده شده است و وابستگی فرکانسی ضریب کیفیت و تأثیر پارامترهای مختلف در برآورد ضریب کیفیت امواج دنباله‌ای در منطقه نیز بررسی می‌شود.

۲ برآورد کدا Q با روش تک‌پراکنش به عقب

روش تک‌پراکنش به عقب را آکی و چوئت (۱۹۷۵) برای بررسی و تحلیل امواج دنباله‌ای زمین‌لرزه‌های محلی معرفی کردند. امواج دنباله‌ای که بخش انتهایی نوسانات سیگنال لرزه‌ای رویدادهای محلی و منطقه‌ای را تشکیل می‌دهند،

تفاوت در Q_c مشاهده شده بین مطالعات مختلف با استفاده از یک زمان گذشت یکسان می‌تواند به دلیل متفاوت بودن سایر پارامترهای پردازش یا به دلیل تفاوت واقعی در کذا Q باشد. همچنین افزایش کذا Q با زمان گذشت ممکن است بیانگر ساده بودن مدل تک پراکنش برای توصیف افت دامنه کذا باشد (هاوسکوف و همکاران، ۲۰۱۶).

برای مقایسه نتایج این مطالعه با نتایج سایر نقاط، از روش CWD استفاده شده است. در این راستا، ابتدا با یافتن پارامترهای بهینه و متناسب با بانک داده این پژوهش، محاسبات Q_c انجام شده است. سپس از پارامترهای پیشنهادی هauskov و همکاران (۲۰۱۶) برای محاسبه کذا Q استفاده و نتایج در جداول و نمودارهای مجزا برای مقایسه ارائه شده است. همچنین اثر پارامترهای مختلف پردازش بر محاسبه Q_c بررسی و مجموعه بهینه پارامترها محاسبه و معروفی شده است.

۳ داده و پیش‌پردازش داده‌ها

داده‌های استفاده شده در این پژوهش که شامل زلزله‌های دستگاهی از سال ۲۰۱۲ تا ۲۰۲۰ است، از سه شبکه لرزه‌نگاری استخراج شد. این شبکه‌ها عبارت‌اند از: شبکه ملی لرزه‌نگاری باند پهن ایران (INSN) وابسته به پژوهشگاه بین‌المللی زلزله‌شناسی و مهندسی زلزله؛ شبکه مرکز ملی لرزه‌نگاری کشوری (IRSC) وابسته به مؤسسه ژئوفیزیک دانشگاه تهران؛ شبکه لرزه‌نگاری باند پهن دانشگاه فردوسی مشهد (FUMSN). پس از استخراج داده‌ها، لرزه‌نگاشت-های رویدادهای مشابه این سه مرکز با هم تلفیق و رویدادها با استفاده از مدل ساختارسرعتی منطقه (خسروی و همکاران، ۲۰۱۹) دوباره مکان یابی شدند.

گام نخست برای محاسبه و تحلیل پارامتر Q_c در پهنه شرق و شمال شرق ایران، انتخاب رویدادهایی با فاصله رومکزی کمتر از ۱۰۰ km بود. با درنظر گرفتن این شرط،

به دست می‌آید.

این روش متداول‌ترین رهیافت برای تعیین ضربیت کیفیت امواج دنباله‌ای است و به روش افت موج دنباله‌ای (Coda Wave Decay, CWD) مشهور است (برای مثال: هاووسکوف و همکاران، ۲۰۱۶ و امیری فرد و همکاران، ۲۰۲۰).

معمولًا فرض می‌شود ضربیت کیفیت امواج دنباله‌ای (Q_c) مطابق رابطه (۳) شامل دو بخش پراکندگی و ذاتی است (هاوسکوف و همکاران، ۲۰۱۶):

$$Q_c^{-1} = Q_{sc}^{-1} + Q_i^{-1} \quad (3)$$

که Q_c و Q_i به ترتیب Q پراکنش و ذاتی هستند.

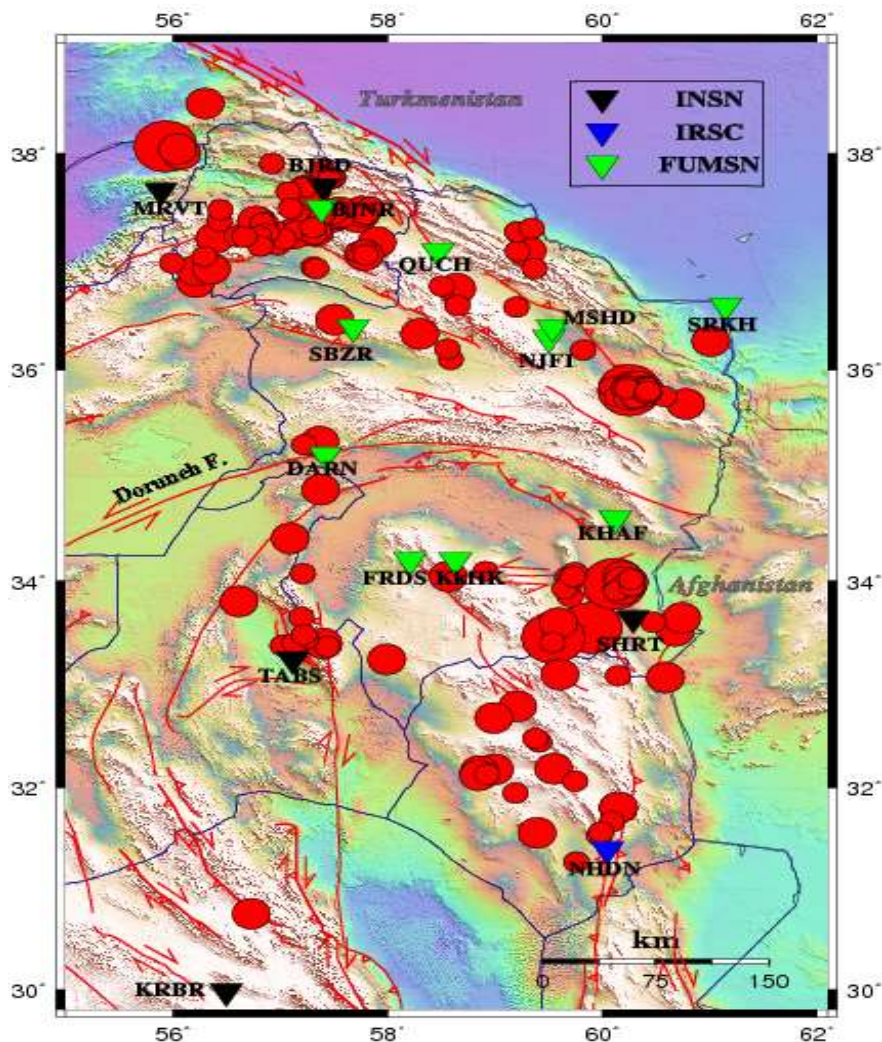
تمام مطالعات Q نشان می‌دهد تضعیف امواج با فرکانس با رابطه زیر افزایش می‌یابد:

$$Q_c = Q_0(f/f_0)^\alpha \quad (4)$$

که Q_0 ، مقدار Q در فرکانس مرجع f_0 است و α ضربیت ثابت است. تقریباً همه مطالعات مقدار f_0 را برابر ۱ هرتز در نظر می‌گیرند و وابستگی فرکانسی آن با رابطه (۵) بیان می‌شود:

$$Q_c = Q_0 f^\alpha \quad (5)$$

که Q_0 در این حالت مقدار Q_c در فرکانس ۱ هرتز است. روش محاسبه کذا Q بسته به پارامترهای مختلف پردازشی مورد استفاده می‌تواند نتایج متفاوتی در بی داشته باشد. به نظر می‌رسد مقادیر کذا Q به هر دو عامل سن زمین ساختی و میزان ناهمگنی پوسته بستگی دارد (ساتو و همکاران، ۲۰۱۲). مشخص نیست که این اختلافات تا چه اندازه ناشی از پارامترهای پردازش و تا چه اندازه ناشی از اختلاف واقعی در کذا Q است. گوسف (۱۹۹۵) استدلال کرد که اثر پراکندگی با عمق کاهش می‌یابد. وی مدلی ارائه داد که در آن سهم پراکندگی در Q متناسب با h^{-n} است (عمق و n عددی ثابت است) و با استفاده از این مدل نشان داد تفاوت اصلی بین بیشتر مطالعات کذا Q تنها به دلیل استفاده از زمان گذشت‌های مختلف است.



شکل ۱. نقشه پراکندگی زمین‌لرزه‌های (دایره‌های قرمز رنگ) استفاده شده برای محاسبه پارامتر Q_0 به همراه موقعیت ایستگاه‌های شبکه ملی لرزه‌نگاری باندپهنه ایران (INSN)، مرکز لرزه‌نگاری کشوری (IRSC) و شبکه لرزه‌نگاری باندپهنه دانشگاه فردوسی مشهد (FUMSN).

مقدار Q_0 در فرکانس مرکزی 10 هرتز نیز محاسبه می‌شود؛ زیرا مقایسه روابط $Q(f)$ همیشه ساده نیست و در فرکانس بالا تفاوت در Q بهتر نمایان می‌شود. این موضوع، وابستگی شدید Q_0 را به فرکانس نشان می‌دهد. در پژوهش پیش‌رو سعی شده است پارامترهایی به کار گرفته شوند که بهترین تطبیق را با منحنی نزولی و بهترین تناسب را با معادله $Q(f)$ داشته باشند. شکل‌های ۲ و ۳ فراوانی زمین‌لرزه‌های

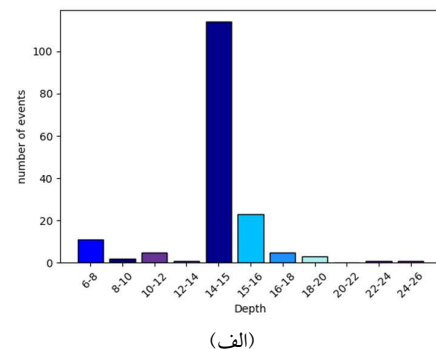
۱۶۹ رویداد انتخاب و اولین پردازش Q_0 انجام شد. توزیع ایستگاه‌ها و رویدادهای مورد استفاده برای برآورده Q_0 منطقه شرق و شمال شرق ایران در شکل (۱) نشان داده شده است. با استفاده از الگوریتم CODAQ در نرم‌افزار سایزن مقدادر میانگین Q_0 در فرکانس‌های مرکزی داده شده برآورده شد. مقدار Q_0 در این الگوریتم برای هریک از فرکانس‌ها با استفاده از معادله $Q(f)=Q_0 f^n$ محاسبه می‌شود.

در جدول ۱ مجموعه پارامترهای مرجع هفت‌گانه برای محاسبه و تحلیل Q_c با روش تک پراکنش به عقب ارائه شده است که بر اساس ارزیابی‌های متنوع، انتخاب و در پژوهش حاضر استفاده شده‌اند. در این جدول مقادیر پیشنهادی پارامترهای مرجع در مطالعه هاووسکوف و همکاران (۲۰۱۶) نیز جهت مقایسه با محاسبات پارامترهای مرجع این پژوهش آورده شده است.

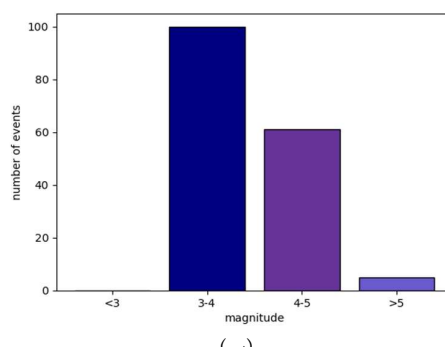
جدول ۱. پارامترهای مرجع هفت‌گانه برای تحلیل Q_c در پژوهش حاضر و پارامترهای مرجع هاووسکوف و همکاران (۲۰۱۶).

هاوسکوف و همکاران (۲۰۱۶)	پژوهش حاضر	پارامترهای مرجع
۰/۵	۰/۵	گسترش هندسی (β)
۱۲	۱/۲	پهنای باند فیلتر
۳۰	۴۰	زمان گذشت
۳۰ ثانیه	۴۰ ثانیه	پنجره زمانی
۵ چرخه‌ای	۵ ثانیه	طول پنجره rms
۳	۲≤	نسبت سیگنال به نویف
۰/۶	۰/۵≤	ضریب همستانگی

استفاده شده برای محاسبه Q_c را به ترتیب بر حسب عمق و بزرگای آنها نشان می‌دهند. مطابق داده‌ها، کمینه و بیشینه بزرگ‌گا و عمق به ترتیب ۳/۱، ۶، ۶ و ۲۴ کیلومتر است.



(الف)



(ب)

شکل ۲. توزیع تعداد زمین‌لرزه‌ها بر حسب (الف) عمق (ب) بزرگای برای ۱۶۶ رویداد استفاده شده در محاسبه پارامتر Q_c .

۱-۴ ارزیابی تغییرات جانبی و ژرفی و تأثیر پارامترهای مختلف بر ضریب کیفیت

بر اساس پردازش‌های انجام شده، ارزیابی تغییرات ضریب کیفیت امواج دنباله‌ای Q_c ، ابتدا بر مبنای پارامترهای پیشنهادی هاووسکوف و همکاران (۲۰۱۶) و سپس بر اساس پارامترهای بهینه‌شده و مرجع پژوهش حاضر انجام شده است (جدول ۲). پارامتر NT در جدول‌های ۲ و ۳ بیانگر جمع کل تعداد Q_c تعیین شده در همه فرکانس‌ها است. در جدول ۲، استفاده از هر سه مؤلفه با هم و جداگانه در محاسبات نشان می‌دهد نتایج تقریباً یکسان هستند.

۴ پردازش داده و روش تحقیق

با انتخاب پارامترهای مناسب، Q_c را می‌توان به دست آورد. واضح است که بدون استفاده از پارامترهای یکسان، مقایسه منطقی مقادیر Q_c از مطالعات مختلف به آسانی میسر نیست. پارامترهای منتخب نهایی این مطالعه از نظر پهنای فیلتر، زمان گذشت و سایر پارامترها، متفاوت از پارامترهای استفاده شده در دیگر مطالعات Q_c است؛ بنابراین همان‌طور که پیشتر اشاره شد، علاوه بر مقایسه نتایج این پژوهش با سایر نقاط جهان، از پارامترهای مرجع مطالعه هاووسکوف و همکاران (۲۰۱۶) نیز استفاده شده است.

مشاهده می‌شود که با افزایش پهنه‌ای فیلتر، مقدار Q_0 افزایش می‌یابد و هنگام استفاده از فیلتر $1/2$ اکتاو، مقدار Q_0 پایدار می‌شود. فیلتر عریض‌تر، نتایج پذیرفتی تری به همراه دارد و در عین حال، تناسب بهتری با منحنی $Q(f)$ دارد؛ بنابراین در پژوهش حاضر از فیلتر $1/2$ اکتاو استفاده شده است. نتایج ارزیابی‌ها با پهنه‌های مختلف باند فرکانسی در جدول ۴ آرائه شده است.

جدول ۴. ارزیابی coda Q برای مقادیر مختلف پهنه‌ای باند فیلتر (الف) با استفاده از پارامترهای مرجع هاوسکوف و همکاران (۲۰۱۶) (ب) با استفاده از پارامترهای مرجع پژوهش حاضر.
(الف)

Q_{10}	α	Q_0	NT	پهنه‌ای باند فیلتر (اکتاو)
۶۶۹	۰/۸۷	۹۰	۲۸۵	مرجع ۲/۰
۵۴۸	۰/۸۴	۸۰	۲۷۵	۰/۵
۵۶۳	۰/۷۸	۹۳	۳۱۷	۱/۰
۵۶۸	۰/۷۸	۹۴	۳۲۱	۱/۲
۶۵۵	۰/۸۶	۹۰	۲۸۰	۱/۵
۶۱۷	۰/۷۸	۱۰۳	۲۹۰	۳/۰

(ب)

Q_{10}	α	Q_0	NT	پهنه‌ای باند (اکتاو)
۷۲۰	۰/۷۶	۱۲۵	۸۳۷	مرجع ۱/۲
۶۸۶	۰/۷۸	۱۱۴	۷۱۲	۰/۵
۷۰۵	۰/۷۶	۱۲۲	۸۰۱	۱/۰
۶۸۷	۰/۷۱	۱۳۳	۷۴۳	۱/۵
۶۹۷	۰/۷۰	۱۳۹	۷۵۸	۲/۰
۷۴۳	۰/۷۱	۱۴۴	۷۶۳	۳/۰

یکی از پارامترهای مهم در برآورده Q انتخاب شروع زمان گذشت است. به زمان وقوع تا شروع پنجره موج دنباله‌ای زمان گذشت می‌گویند. نتایج استفاده از مقادیر مختلف زمان گذشت در جدول‌های ۵ و ۶ آورده شده است. برای

جدول ۲. ارزیابی Q_C برای مؤلفه‌های مختلف (الف) با استفاده از پارامترهای مرجع هاوسکوف و همکاران (۲۰۱۶) (ب) با استفاده از پارامترهای مرجع پژوهش حاضر.

(الف)

Q_{10}	α	Q_0	NT	مؤلفه لرزه‌نگاشت
۶۶۹	۰/۸۷	۹۰	۲۸۵	Z, N, E
۶۵۳	۰/۸۵	۹۲	۹۴	Z
۷۰۲	۰/۸۳	۱۰۳	۹۴	N
۶۳۱	۰/۸۷	۸۴	۹۷	E

(ب)

Q_{10}	α	Q_0	NT	مؤلفه لرزه‌نگاشت
۷۲۰	۰/۷۶	۱۲۵	۸۳۷	Z, N, E
۷۵۶	۰/۸۰	۱۲۱	۲۵۳	Z
۷۰۱	۰/۷۲	۱۳۵	۲۸۳	N
۷۰۴	۰/۷۶	۱۲۳	۳۰۱	E

به طور کلی مطابق تحقیقات صورت گرفته، طیف وسیعی از مقادیر Q مشاهده شده وجود دارد که ممکن است به فاصله و محدوده فرکانس درنظر گرفته شده بستگی داشته باشد (هاوسکوف و همکاران، ۲۰۱۶). در پژوهش حاضر، پارامتر گسترش هندسی برابر $۰/۵$ فرض شده است. سایر مقادیر در جدول ۳ آورده شده است.

جدول ۳ آورده شده است.

جدول ۳. ارزیابی coda Q برای مقادیر مختلف گسترش هندسی (الف) با استفاده از پارامترهای مرجع هاوسکوف و همکاران (۲۰۱۶) (ب) با استفاده از پارامترهای مرجع پژوهش حاضر.

(الف)

Q_{10}	α	Q_0	NT	پارامتر گسترش هندسی
۶۶۹	۰/۸۷	۹۰	۲۸۵	مرجع ۰/۵
۷۴۵	۰/۸۷	۱۰۱	۲۶۱	۰/۷۵
۸۰۹	۰/۸۶	۱۱۱	۲۱۶	۱/۰

(ب)

Q_{10}	α	Q_0	NT	پارامتر گسترش هندسی
۷۲۰	۰/۷۶	۱۲۵	۸۳۷	مرجع ۰/۵
۷۸۳	۰/۷۶	۱۳۷	۷۶۰	۰/۷۵
۸۶۰	۰/۷۷	۱۴۷	۶۷۹	۱/۰

۵۸۰	۰/۸۲	۸۷	۲۲۱	۲۰	۴۰*
۷۲۱	۰/۸۴	۱۰۵	۲۸۹	۳۰	۴۰*
۷۹۸	۰/۸۰	۱۲۷	۳۳۶	۴۰	۴۰
۹۰۱	۰/۸۱	۱۴۰	۳۱۵	۵۰	۴۰
۵۷۱	۰/۷۸	۹۴	۱۷۵	۲۰	۵۰*
۸۱۷	۰/۸۷	۱۱۱	۲۷۳	۳۰	۵۰*
۸۷۳	۰/۸۱	۱۳۵	۳۶۸	۴۰	۵۰
۹۳۶	۰/۷۳	۱۷۶	۴۶۰	۵۰	۵۰
۶۲۱	۰/۸۰	۹۹	۱۷۶	۲۰	۶۰*

جدول ۶. ارزیابی coda Q به عنوان تابعی از زمان گذشت و طول پنجره زمانی بر اساس پارامترهای مرجع پژوهش حاضر، موارد ستاره‌دار معرف زمان گذشت و طول پنجره زمانی پیشنهادی هاووسکوف و همکاران (۲۰۱۶) است.

Q ₁₀	α	Q ₀	NT	طول پنجره زمانی (ثانیه)	زمان گذشت (ثانیه)
۷۲۰	۰/۷۶	۱۲۵	۸۳۷	۴۰	۴۰
۴۶۵	۰/۸۲	۷۰	۱۰۸۳	۲۰	۰
۵۰۸	۰/۷۳	۹۴	۱۱۵۴	۳۰	۰
۵۴۸	۰/۷۰	۱۱۰	۱۱۳۸	۴۰	۰
۶۰۲	۰/۶۹	۱۲۳	۱۰۲۶	۵۰	۰
۴۵۵	۰/۸۱	۷۱	۳۰۵	۲۰	۲۰
۴۸۹	۰/۷۶	۸۴	۳۱۵	۳۰	۲۰*
۵۳۰	۰/۷۳	۹۸	۳۱۱	۴۰	۲۰
۵۹۲	۰/۶۹	۱۲۰	۲۸۵	۵۰	۲۰
۴۹۶	۰/۸۰	۷۸	۴۵۳	۲۰	۳۰
۵۵۷	۰/۷۶	۹۷	۴۸۷	۳۰	۳۰*
۶۱۷	۰/۷۶	۱۰۸	۴۹۴	۴۰	۳۰*
۶۸۶	۰/۷۴	۱۲۵	۴۸۷	۵۰	۳۰*
۵۸۰	۰/۸۴	۸۴	۶۲۰	۲۰	۴۰*
۶۶۲	۰/۷۸	۱۱۱	۷۸۹	۳۰	۴۰*
۷۷۸	۰/۷۳	۱۴۴	۷۷۵	۵۰	۴۰
۶۰۵	۰/۸۴	۸۸	۴۴۶	۲۰	۵۰*
۷۵۹	۰/۸۳	۱۱۲	۶۶۸	۳۰	۵۰*
۸۲۹	۰/۷۹	۱۳۳	۷۹۰	۴۰	۵۰
۸۷۳	۰/۷۴	۱۵۹	۷۶۳	۵۰	۵۰
۶۷۷	۰/۸۴	۹۷	۲۶۵	۲۰	۶۰*

بررسی‌های دقیق‌تر، محدوده زمان گذشت ارزیابی شده در این جداول نسبت به محدوده پیشنهادی در مطالعه هاووسکوف و همکاران (۲۰۱۶) گسترده‌تر فرض شده است. همچنین در مواردی پارامتر زمان گذشت صفر فرض شده است که به معنای آن است که برای شروع پنجره کدا مقدار ثابتی در نظر گرفته نشود و برای هر لرزه‌نگاشت همان دو برابر زمان سیر موج S لحاظ شود. گفتنی است طول پنجره انتخاب شده برای پردازش Q_0 نیز نتایج را تحت تأثیر قرار می‌دهد. طول پنجره باید به اندازه کافی زیاد باشد تا نتایجه‌ای پایدار تولید کند. مقادیر طول پنجره در جداول ۵ و ۶ آورده شده است.

اغلب حداقل زمان گذشت را دو برابر زمان سیر موج S در نظر می‌گیرند، اما می‌توان بیشتر از این زمان را هم برای شروع امواج دنباله‌ای در نظر گرفت. در جدول ۷ مقادیر مختلفی از این پارامتر به همراه نتایج آورده شده است.

جدول ۵. ارزیابی coda Q به عنوان تابعی از زمان گذشت و طول پنجره زمانی بر اساس پارامترهای مرجع هاووسکوف و همکاران (۲۰۱۶). موارد ستاره‌دار معرف زمان گذشت و طول پنجره زمانی پیشنهادی هاووسکوف و همکاران (۲۰۱۶) است.

Q ₁₀	α	Q ₀	NT	طول پنجره زمانی (ثانیه)	زمان گذشت (ثانیه)
۶۶۹	۰/۸۷	۹۰	۲۸۵	۳۰	۳۰
۴۸۱	۰/۷۷	۸۲	۵۷۷	۲۰	۰
۵۴۷	۰/۷۳	۱۰۱	۶۵۰	۳۰	۰
۶۱۹	۰/۷۳	۱۱۶	۷۱۸	۴۰	۰
۷۰۳	۰/۷۳	۱۳۱	۶۶۰	۵۰	۰
۴۲۴	۰/۷۰	۸۵	۸۰	۲۰	۲۰
۴۵۳	۰/۶۸	۹۴	۸۱	۳۰	۲۰*
۵۱۲	۰/۷۳	۹۶	۷۵	۴۰	۲۰
۶۷۱	۰/۶۲	۱۶۰	۵۱	۵۰	۲۰
۵۱۵	۰/۷۹	۸۳	۲۶۲	۲۰	۳۰
۷۸۳	۰/۹۱	۹۷	۲۸۵	۴۰	۳۰*
۸۱۱	۰/۸۳	۱۱۹	۲۵۹	۵۰	۳۰*

(ب)

Q_{10}	α	Q_0	NT	حداکثر ضریب همبستگی
۷۲۰	۰/۷۶	۱۲۵	۸۳۷	-۰/۵ مرجع
۷۰۲	۰/۷۸	۱۱۶	۷۳۲	-۰/۶
۶۸۲	۰/۸۰	۱۰۷	۵۶۷	-۰/۷
۶۱۵	۰/۸۰	۹۷	۲۹۶	-۰/۸
۴۶۸	۰/۷۳	۸۷	۵۶	-۰/۹

جدول ۹. ارزیابی تأثیر طول پنجره ریشه مربع میانگین (rms) بر coda Q (الف) با استفاده از پارامترهای مرجع هاووسکوف و همکاران (۲۰۱۶) (ب) با استفاده از پارامترهای مرجع پژوهش حاضر.
(الف)

Q_{10}	α	Q_0	NT	rms طول پنجره
۶۶۹	۰/۸۷	۹۰	۲۸۵	مقدار ثابت ۵ ثانیه
۶۷۷	۰/۸۸	۹۰	۲۸۰	مقدار ثابت ۳ ثانیه
۶۶۴	۰/۸۶	۹۱	۲۸۸	مقدار ثابت ۷ ثانیه

(ب)

Q_{10}	α	Q_0	NT	rms طول پنجره
۷۲۰	۰/۷۶	۱۲۵	۸۳۷	مقدار ثابت ۵ ثانیه
۷۲۸	۰/۷۷	۱۲۴	۸۲۱	مقدار ثابت ۳ ثانیه
۷۱۶	۰/۷۵	۱۲۶	۸۳۸	مقدار ثابت ۷ ثانیه

جدول ۱۰. ارزیابی تأثیر نسبت سیگنال به نویه (SNR) بر Q (الف) با استفاده از پارامترهای مرجع هاووسکوف و همکاران (۲۰۱۶) (ب) با استفاده از پارامترهای مرجع پژوهش حاضر.
(الف)

Q_{10}	α	Q_0	NT	نسبت سیگنال به نویه
۶۶۹	۰/۸۷	۹۰	۲۸۵	پنجره ۳ ثانیه مرجع
۶۴۳	۰/۸۴	۹۳	۲۹۲	پنجره ۲ و ۳ ثانیه
۶۹۸	۰/۹۰	۸۸	۲۷۸	پنجره ۴ و ۳ ثانیه
۶۶۹	۰/۸۷	۹۰	۲۸۵	پنجره ۳ و ۵ ثانیه

(ب)

Q_{10}	α	Q_0	NT	نسبت سیگنال به نویه
۷۲۰	۰/۷۶	۱۲۵	۸۳۷	پنجره ۲ و ۵ ثانیه مرجع
۷۲۸	۰/۷۷	۱۲۴	۸۲۱	پنجره ۲ و ۳ ثانیه
۷۳۴	۰/۷۷	۱۲۴	۷۷۰	پنجره ۳ و ۳ ثانیه
۷۴۳	۰/۷۸	۱۲۳	۷۳۱	پنجره ۴ و ۳ ثانیه
۷۳۰	۰/۷۷	۱۲۴	۷۸۴	پنجره ۳ و ۵ ثانیه

جدول ۷. ارزیابی Q coda به عنوان تابعی از حداقل زمان گذشت (الف) بر اساس پارامترهای مرجع هاووسکوف و همکاران (۲۰۱۶) (ب) با استفاده از پارامترهای مرجع پژوهش حاضر.

(الف)

Q_{10}	α	Q_0	NT	حداقل زمان گذشت (ثانیه)
۶۶۹	۰/۸۷	۹۰	۲۸۵	۲/۰ مرجع
۵۹۳	۰/۸۰	۹۳	۳۸۸	۱/۵
۶۷۱	۰/۸۷	۹۰	۱۵۸	۲/۵

(ب)

Q_{10}	α	Q_0	NT	حداقل زمان گذشت (ثانیه)
۷۲۰	۰/۷۶	۱۲۵	۸۳۷	۱/۵ مرجع
۷۹۱	۰/۸۱	۱۲۲	۴۳۰	۲/۰
۸۰۵	۰/۸۲	۱۲۳	۳۴۶	۲/۵

برای محاسبه ضریب همبستگی، لگاریتم منحنی افت با استفاده از روش کمترین مربعات با یک خط تطبیق داده می‌شود. در جدول ۸ مقادیر دیگر این پارامتر در محاسبات ارزیابی شده است.

از دیگر پارامترهای مورد استفاده در تحلیل Q می‌توان به طول پنجره ریشه مربع میانگین (rms) و نسبت سیگنال به نویه (SNR) اشاره کرد. همان‌طور که در جداول ۹ و ۱۰ مشاهده می‌شود، این دو پارامتر تأثیر اندکی بر مقادیر Q دارند.

جدول ۸ ارزیابی تأثیر حداکثر ضریب همبستگی بر Q (الف) با استفاده از پارامترهای مرجع هاووسکوف و همکاران (۲۰۱۶) (ب) با استفاده از پارامترهای مرجع پژوهش حاضر.

(الف)

Q_{10}	α	Q_0	NT	حداکثر ضریب همبستگی
۶۶۹	۰/۸۷	۹۰	۲۸۵	-۰/۶ مرجع
۶۷۱	۰/۸۵	۹۴	۳۰۴	-۰/۵
۶۴۴	۰/۸۷	۸۷	۲۴۸	-۰/۷
۶۱۶	۰/۹۰	۷۷	۱۶۴	-۰/۸
۴۴۹	۰/۷۷	۷۷	۴۰	-۰/۹

۲-۴ Q_C تابعی از فرکانس

میانگین ضریب کیفیت امواج دنباله‌ای Q_C به فرکانس‌های مرکزی بستگی شدیدی دارد. در مطالعه هاووسکوف و همکاران (۲۰۱۶) از فرکانس‌های مرکزی ۱، ۲، ۴، ۸ و ۱۶ هرتز با یک فیلتر ۲ اکتاو استفاده شده است که به ترتیب پهنه‌ای باند ۰/۵-۲، ۱-۴، ۴-۱۶، ۲-۸، ۸-۳۲ هرتز را ارائه می‌دهد. در پژوهش حاضر از فیلتر ۱/۲ اکتاو استفاده شده است. مشخصات پهنه‌ای باند فرکانسی در جدول ۱۱ آورده شده است.

جدول ۱۱. فرکانس‌های مرکزی و پهنه‌ای باند با فیلتر ۱/۲ اکتاو.

فرکانس قطع بالا (Hz)	فرکانس مرکزی (fc) (Hz)	فرکانس قطع پایین (Hz)
۱/۵۲	۱	۰/۶۶
۳/۰۳	۲	۱/۳۲
۶/۰۶	۴	۲/۶۴
۱۲/۱۳	۸	۵/۲۸
۲۴/۲۵	۱۶	۱۰/۵۶

همچنین مقادیر Q_C حاصل از فرکانس‌های مرکزی و پهنه‌ای باند مربوطه در جدول ۱۲ ارائه شده است. NT تعداد نگاشتهای به کاررفته در هر فرکانس و σ انحراف معیار است.

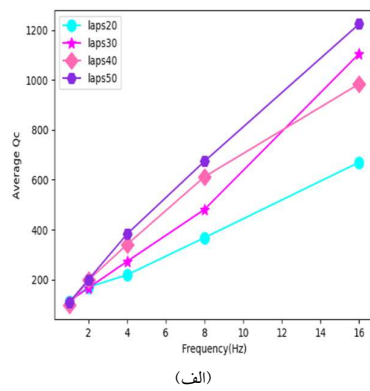
جدول ۱۲. ارزیابی تأثیر فرکانس مرکزی بر Q_C (الف) با استفاده از پارامترهای مرجع هاووسکوف و همکاران (۲۰۱۶) (ب) با استفاده از پارامترهای مرجع پژوهش حاضر، علامت ستاره مربوط به مقدار ثابت تعداد نگاشتهای برای فرکانس مرکزی موردنظر است.

(الف)

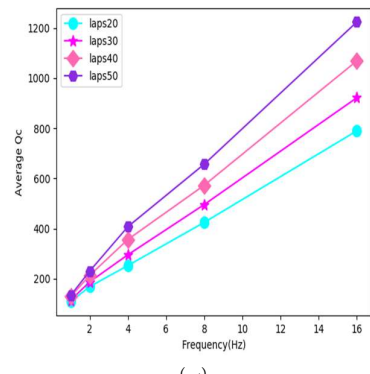
$Q_C \pm \sigma$	NT	فرکانس مرکزی (Hz)
۱۱۳±۴۴	۳۸	۱
۱۲۹±۳۲	*۵۰	۱/۵
۱۶۷±۴۹	۶۲	۲
۲۷۳±۶۷	۸۴	۴
۴۸۱±۹۹	۸۶	۸
۶۶۹±۲۴۵	*۵۰	۱۰
۱۱۰۵±۱۹۱	۱۵	۱۶

۵ بحث و بررسی نتایج ۱-۵ تغییرات ژرفی کاهندگی (وابستگی Q_C به زمان گذشت)

مقایسه مقادیر میانگین Q_C در زمان گذشت‌های ۴۰، ۳۰، ۲۰، ۱۰ و ۵۰ ثانیه در شکل ۳ نشان می‌دهد با افزایش زمان گذشت،

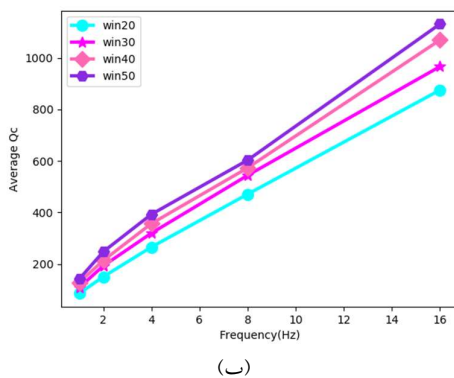


(الف)



(ب)

شکل ۳. ارزیابی تغییرات Q_C با زمان گذشت و فرکانس (الف) با استفاده از پارامترهای مرجع هاووسکوف و همکاران (۲۰۱۶) (ب) با استفاده از پارامترهای مرجع پژوهش حاضر.



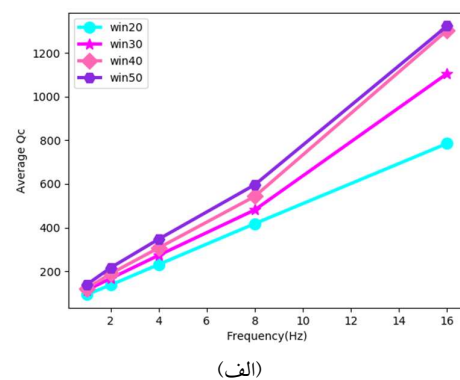
شکل ۴. ارزیابی تغییرات Q_0 با طول پنجره و فرکانس (الف) با استفاده از پارامترهای مرجع هاووسکوف و همکاران (۲۰۱۶) (ب) با استفاده از پارامترهای مرجع پژوهش حاضر.

با توجه به محاسبات این پژوهش به خوبی نشان داده شده است که زمان گذشت، طول پنجره و فرکانس تأثیر زیادی بر نتایج دارند و بررسی مقادیر Q_0 بر حسب فرکانس نشان می‌دهد این مقادیر تابعی از فرکانس هستند و با افزایش فرکانس، افزایش می‌یابند، اما سایر پارامترها مانند پهنای فیلتر، طول پنجره rms، ضریب همبستگی و پارامتر گسترش هندسی کمتر تأثیرگذارند که این موضوع با یافته‌های دیگر در این زمینه به خوبی سازگار است (شکل ۵). همچنین نسبت سیگنال به نویه نیز تأثیر کمی در تعیین این پارامتر دارد (جدول ۱۰). پهنای فیلتر، طول پنجره rms و ضریب همبستگی تأثیر شایان توجهی بر Q_0 و تأثیر اندکی بر Q_{10} دارند که نشان می‌دهد این تغییرات تنها یک اثر پردازشی است؛ بنابراین تعیین Q_0 واقعی ممکن است دشوارتر از Q_{10} واقعی باشد (هاوسکوف و همکاران، ۲۰۱۶). از آنجاکه امواج دنباله‌ای تصادفی هستند و از همه جهت‌ها به سوی ایستگاه حرکت می‌کنند، انتظار می‌رود تفاوتی بین مؤلفه‌های سه‌گانه وجود نداشته باشد (دل پترو و همکاران، ۱۹۸۵ و ساتو و همکاران، ۲۰۱۲). جدول ۲ نتایج را با استفاده از مؤلفه‌های جداگانه و هر سه مؤلفه نشان می‌دهد. نتایج تقریباً یکسان هستند که بیانگر پایداری روش CWD است.

مقدار Q_0 افزایش می‌یابد. همچنین مقایسه مقادیر میانگین Q_0 در طول پنجره‌های زمانی ۲۰، ۳۰، ۴۰ و ۵۰ ثانیه در شکل ۴ نیز مطابق انتظار نشان می‌دهد با افزایش طول پنجره زمانی، مقدار Q_0 افزایش می‌یابد. نمودارها به خوبی بیانگر افزایش مقادیر Q_0 با افزایش فرکانس هستند. با افزایش زمان گذشت، امواج لرزه‌ای از اعماق بیشتری در زمین عبور می‌کنند. مقادیر ضریب کیفیت Q_0 در چهار پنجره زمانی گذشت (از ۲۰ تا ۵۰ ثانیه با گام ۱۰ ثانیه) رفتار افزایشی داشته است. افزایش مقادیر Q_0 با افزایش زمان گذشت و عمق به معنی این است که با افزایش عمق، از مقدار ناهمگنی زمین کاسته می‌شود.

بررسی نتایج نشان می‌دهد علیرغم افزایش ضریب کیفیت کذا در چهار پنجره زمانی ۲۰ تا ۵۰ ثانیه با بازه‌های ۱۰ ثانیه‌ای، مقادیر کم Q_0 در پنجره‌های ابتدایی کذا، مولید بی‌هنگاری‌های شدید در لایه‌های کم‌زرفای زمین در محدوده مورد مطالعه است. مقادیر Q_0 به همراه روابط فرکانسی آنها نشان می‌دهد منطقه مورد مطالعه از نظر زمین ساختی فعال است (شکل‌های ۳ و ۴).

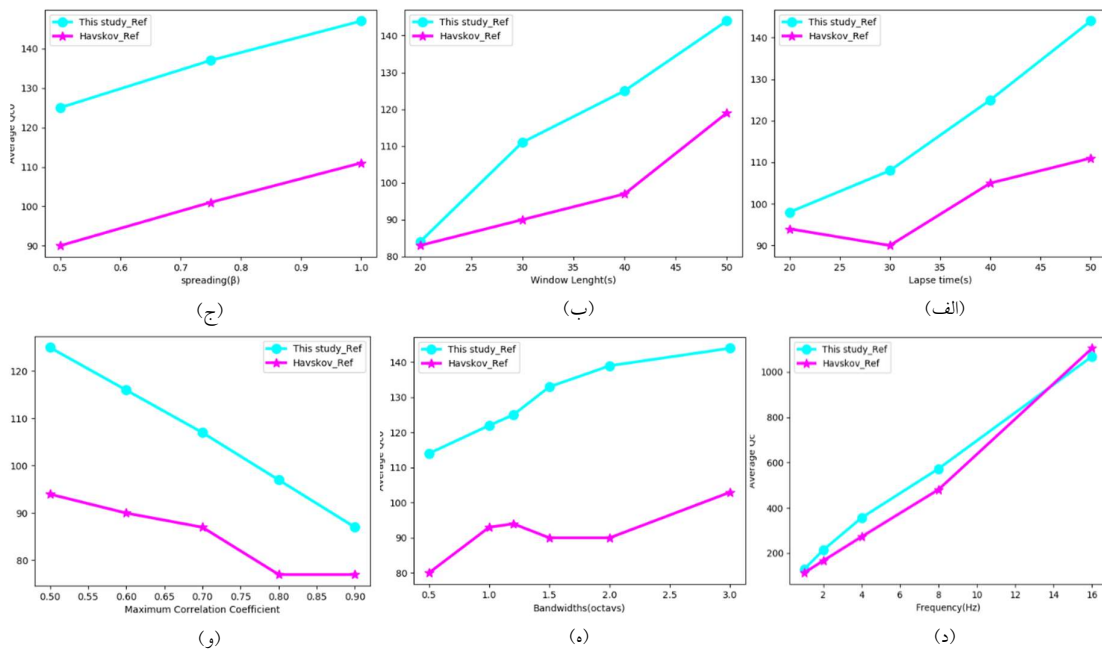
مقایسه سایر پارامترهای مؤثر در تعیین Q_0 در نمودارهای ۵-الف تا ۵-و به خوبی نمایانگر تغییرات مقادیر ضریب کیفیت با تغییر در سایر پارامترهای مورد بحث در پژوهش حاضر است.



ایستگاه در واقع میانگین این مقادیر در محیط پیرامون ایستگاه است. برای تحلیل دقیق‌تر تغییرات جانبی کاهندگی در سطح منطقه برای شانزده ایستگاه لرزه‌نگاری موجود در مناطق مختلف پهنه شرق و شمال شرق کشور، پارامتر ضریب کیفیت امواج دنبله‌ای جدگانه محاسبه و ارزیابی شد (جدول ۱۳).

۲-۵ تغییرات جانبی کاهندگی کدای موج در منطقه

تغییرات Q_0 و α احتمالاً به دلیل عوامل مختلف زمین‌شناسی همچون جنس مواد زیرسطحی، میزان شکستگی‌ها و لرزه‌خیزی منطقه است (هلوگ و همکاران، ۱۹۹۵؛ بیانکو و همکاران، ۱۹۹۹، میچل و همکاران، ۲۰۱۴ و احمدزاده و همکاران، ۲۰۱۷ و ۲۰۱۹). علاوه‌بر این، مقدار Q_0 و α در هر



شکل ۵. ارزیابی تغییرات Q_0 با (الف) زمان گذشت (ب) طول پنجره (ج) گسترش هندسی (د) طول باند فیلتر (و) ضریب همبستگی. نمودار بنفس: نتایج با استفاده از پارامترهای مرجع هاووسکوف و همکاران (۲۰۱۶)؛ نمودار سبز: نتایج با استفاده از پارامترهای مرجع پژوهش حاضر.

پیرامون این ایستگاه است. همان‌گونه که در شکل ۱ دیده می‌شود، ضریب کیفیت ناحیه پهنه گسلی درونه نسبت به سایر مناطق به مرتب کمتر و تضعیف در آن بیشتر است که این موضوع با توجه به ویژگی‌های این پهنه گسلی معقول به نظر می‌رسد و جایگاه زمین‌ساختی فعل گسل یادشده را تأیید می‌کند.

۳-۵ وابستگی Q_0 به فاصله رومگزی
امواج دنبله‌ای ثبت شده در ایستگاه‌های نزدیک‌تر از محیط‌های کوچک‌تر و محدود‌تری دریافت شده‌اند،

نتایج نشان می‌دهد پارامترهای Q_0 و α برای مناطق لرزه‌ای شرق و شمال شرق ایران به ترتیب از ۷۹ تا ۲۰۶ و ۰/۵۴ تا ۱/۱ متغیر است (به استثنای ایستگاه KKH با $Q_0=594$ و $\alpha=0/28$). این محدوده از مقادیر نشان‌دهنده لرزه‌خیزی منطقه است. متفاوت بودن مقادیر برای ایستگاه‌های مختلف ناشی از تفاوت در مسیر پرتوها از چشمۀ تا ایستگاه است. بیشترین مقدار بسامدی ضریب کیفیت مربوط به ایستگاه SRKH با $Q_0 = 206$ و کمترین میزان آن مربوط به ایستگاه DARN با $Q_0 = 79$ است که گویای جذب زیاد

روش‌های مختلف به کاررفته، بیانگر میزان فعالیت زمین‌ساختی منطقه هستند، به گونه‌ای که مناطق فعال زمین‌ساختی مقدار Q_0 کمتری نسبت به مناطق پایدار دارند. نزدیک بودن مقدار α به عدد ۱، بیانگر تضعیف بیشتر و در نتیجه، فعالیت بیشتر در منطقه است (وودگل، ۱۹۹۴ و هلوگ و همکاران، ۱۹۹۵).

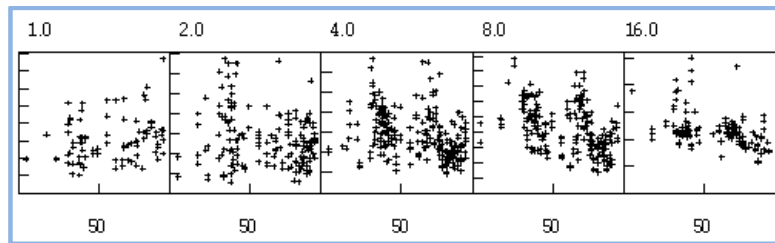
رابطه حاصل از این مطالعه با روابط به دست آمده از مطالعات دیگر در ایران در شکل ۸ نشان داده شده است. تفاوت در روابط مختلف می‌تواند ناشی از تفاوت در روش‌های مورد استفاده، نوع تابع در نظر گرفته شده برای گسترش هندسی، محدوده فرکانسی، فواصل مورد مطالعه و سایر عوامل مؤثر در برآورد ضریب کیفیت باشد.

۵-۵ مقایسه Q_C در مناطق مختلف جهان
هاوسکوف و همکاران (۲۰۱۶) تأثیر پارامترهای مختلف برداش را در ارزیابی مقدار Q_C برای مناطق مختلف زمین‌ساختی مطالعه کردند. ایشان از زمین‌لرزه‌های محلی با فاصله رومرکزی کمتر از ۱۰۰ کیلومتر استفاده و پارامتر کاهنگی امواج دنباله‌ای (کدا Q) را در مناطق مختلف شامل جزیره آتشفسانی ژان‌ماین بین نروژ و گرینلند، جنوب غربی نروژ، دره شانشی واقع در شمال چین، آرژانتین، شرق آناتولی واقع در ترکیه و مجمع‌الجزایر آتشفسانی آزور واقع در محل تلاقی صفحات سه‌گانه سنگ‌کره‌ای آمریکای شمالی، اوراسیا و آفریقا برآورد و برای تسهیل در مقایسه نتایج مطالعات خود با سایر مطالعات، پیشنهاد استفاده از پارامترهای یکسان را مطرح کردند.

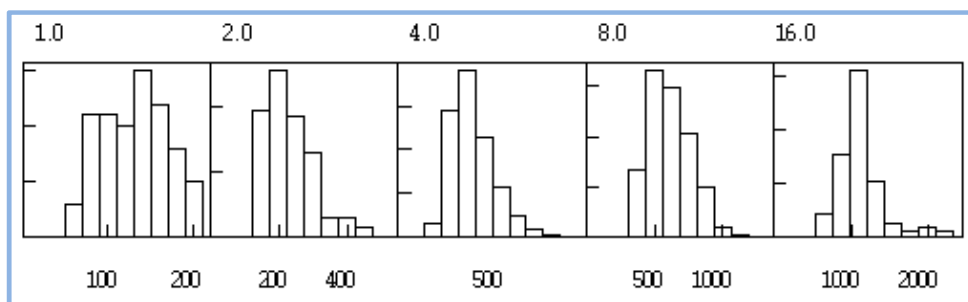
در حالی که امواج ثبت شده در ایستگاه‌های دورتر، محیط‌های وسیع تر و عمیق‌تری را پوشش می‌دهند؛ بنابراین برای مطالعه ارتباط میرایی با فاصله رومرکزی (R ، پارامتر کیفیت در فرکانس‌های مرکزی تعریف شده بررسی شد. در شکل ۶ توزیع مقدار Q برای شرق و شمال شرق ایران بر حسب فاصله رومرکزی در هر باند فرکانسی نشان داده شده است. با توجه به شکل ملاحظه می‌شود تراکم محاسبات این پارامتر در فاصله رومرکزی ۴۰–۹۰ کیلومتر و در فرکانس‌های ۴ و ۸ بیشتر است. همچنین در شکل ۷ توزیع تعداد مقدار Q محاسبه شده برای منطقه در هر باند فرکانسی به صورت بافت‌نگار ارائه شده است.

بررسی توزیع مقدار Q در باندهای فرکانسی ۱، ۲، ۴، ۸ و ۱۶ هرتز نشان می‌دهد با افزایش فرکانس، Q نیز افزایش می‌یابد؛ برای مثال در فرکانس مرکزی ۱۶ هرتز، مقدار Q تا حدود ۲۰۰۰ افزایش یافته است (شکل ۷).

۴-۵ مقایسه Q_C در مناطق مختلف ایران
رابطه Q_C در مطالعات مختلف برای پهنه فلات ایران ارزیابی شده است (برای مثال رحیمی و حمزه‌لو، ۲۰۰۸؛ نجفی‌پور و رحیمی، ۲۰۱۵ و متقی و همکاران، ۲۰۱۷). پژوهش حاضر مطالعه همه‌جانبه‌ای از نظر تعداد پارامترهای مؤثر در برآورد ضریب کیفیت امواج دنباله‌ای ارائه می‌دهد. هنگام مقایسه نتایج مطالعات مختلف باید توجه کرد که تفاوت در روش‌ها، داده‌ها و پارامترهای استفاده شده در تعیین ضریب کیفیت (Q) امکان مقایسه دقیق نتایج مطالعات ذکر شده را دشوار می‌کند. با وجود این، پارامترهای Q_0 و α صرف نظر از



شکل ۶. توزیع مقدار Q برای شرق و شمال شرق ایران بر حسب فاصله رومرکزی در هر باند فرکانسی. محور X معرف فاصله رومرکزی و محور Y معرف کدا Q در فواصل نشان داده شده است. محور Z به صورت خودکار مقیاس شده است.



شکل ۷. توزیع مقادیر QC برای شرق و شمال شرق ایران و باند فرکانسی. محور X معرف مقدار QC و محور y معرف تعداد تعیین‌های QC در فواصل نشان داده شده است. محور y به صورت خودکار مقیاس شده است.

جدول ۱۳. مقادیر Q_0 , Q_{10} , α , انحراف استاندارد (sd), ضریب همبستگی و میانگین کل برای ایستگاه منطقه شرق و شمال شرق ایران.

ردیف	ایستگاه	NT	Q_{10}	Q_0	sd	α	sd	corr
۱	BJRD	۵۳	۶۱۹	۱۰۶	۲۴	۰/۷۷	۰/۱۲	۰/۹۸
۲	SHRT	۳۰۹	۸۶۲	۱۴۵	۳۵	۰/۷۸	۰/۱۱	۰/۹۹
۳	MRVT	۱۶۲	۶۳۵	۱۲۸	۱۸	۰/۷۰	۰/۰۷	۱
۴	BJNR	۱۵	۶۷۶	۹۵	۱۱	۰/۸۵	۰/۰۹	۱
۵	SBZR	۳۱	۵۳۷	۱۲۹	۳۵	۰/۶۲	۰/۱۹	۰/۹۹
۶	QUCH	۱۱۱	۵۷۹	۱۱۳	۲۱	۰/۷۱	۰/۱۳	۰/۹۷
۷	TABS	۱۰	۸۲۱	۱۳۰	۱۱	۰/۸۰	۰/۰۵	۰/۹۹
۸	FRDS	۱۴	۶۹۴	۱۸۲	۲۷	۰/۵۸	۰/۰۶	۰/۹۷
۹	KKHK	۴	۱۱۲۹	۵۹۴	۱۰۱	۰/۲۸	۰/۰۷	۱
۱۰	NJFI	۱۹	۴۰۵	۱۳۱	۲۴	۰/۵۴	۰/۰۹	۰/۹۸
۱۱	NHDN	۱۰	۷۲۵	۱۸۲	۱۷	۰/۶۰	۰/۰۳	۰/۹۶
۱۲	DARN	۱۹	۹۹۱	۷۹	۱۸	۱/۱	۰/۱۵	۰/۹۹
۱۳	MSHD	۴۳	۶۳۸	۱۶۹	۲۸	۰/۵۸	۰/۰۸	۰/۹۹
۱۴	KHAF	۷	۷۷۸	۱۹۱	۶۲	۰/۵۸	۰/۱۳	۱
۱۵	SRKH	۱۵	۹۵۷	۲۰۶	۲۸	۰/۶۷	۰/۰۷	۰/۹۹
۱۶	KRBR	۱۵	۵۱۲	۹۵	۶	۰/۷۳	۰/۰۲	۱
۱۷	Total	۸۳۷	۷۶۰	۱۲۵	۳۲	۰/۷۶	۰/۱۴	۱

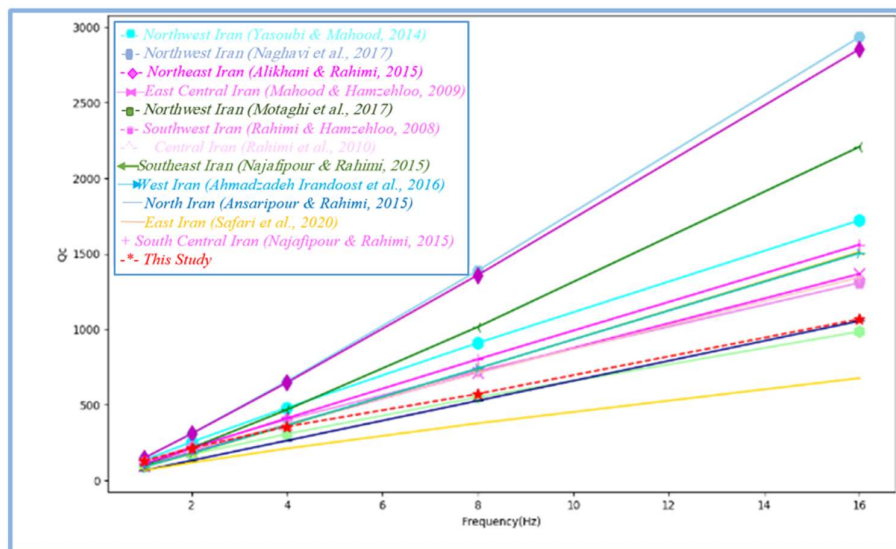
همکاران (۲۰۱۶) (رابطه b) نیز ارائه شده است. با مقایسه روابط در شکل ۹ ملاحظه می‌شود روابط حاصل از این پژوهش با برخی از روابط از جمله رابطه ارائه شده برای شمال چین و آرژانتین مشابهت بیشتری نسبت به سایر مناطق دارد.

روابط حاصل از این پژوهش در مقایسه با سایر نقاط جهان (هاوسکوف و همکاران، ۲۰۱۶) در شکل ۹ نمایش داده شده است. علاوه بر رابطه مبتنی بر پارامترهای بهینه متناسب با بانک داده این پژوهش (رابطه a)، رابطه حاصل بر اساس پارامترهای پیشنهادی هاووسکوف و

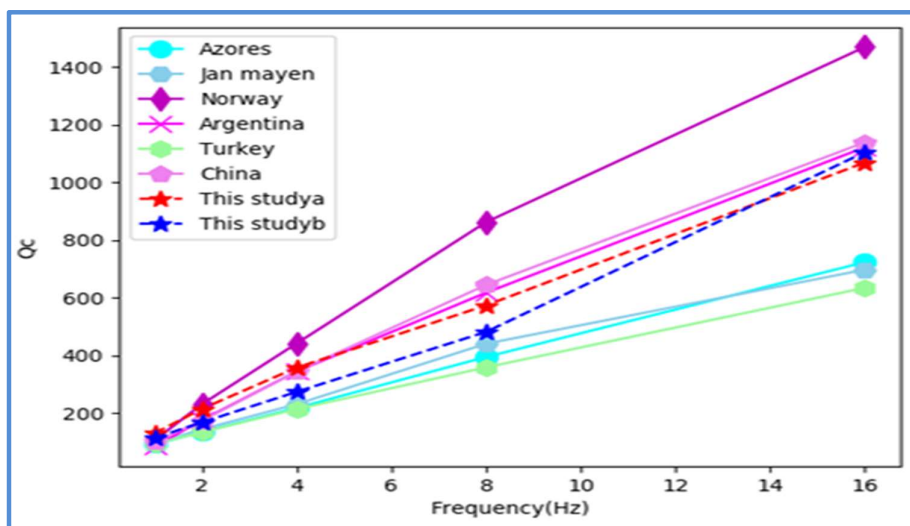
ژانماين	$Q_c = 90 \pm 5 f^{0.72 \pm 0.04}$	۳۰۳۷
نروز	$Q_c = 124 \pm 7 f^{0.91 \pm 0.02}$	۱۷۷۱
آرژانتین	$Q_c = 89 \pm 4 f^{0.94 \pm 0.02}$	۲۲۱۲
ترکیه	$Q_c = 88 \pm 4 f^{0.66 \pm 0.04}$	۱۰۷۸
چین	$Q_c = 99 \pm 4 f^{0.89 \pm 0.02}$	۱۴۰۷

جدول ۱۴. روابط Q_c به عنوان تابعی از فرکانس، مطالعه حاضر در مقایسه با روابط هاووسکوف و همکاران (۲۰۱۶) در سایر مناطق جهان.

منطقه	رابطه Q_c	NT
این مطالعه	$Q_c = 125 \pm 32 f^{0.76 \pm 0.14}$	۸۳۷
آذور	$Q_c = 86 \pm 5 f^{0.7 \pm 0.04}$	۷۶۷۱



شکل ۸. پارامتر Q_c بر حسب فرکانس برای مناطق مختلف ایران.



شکل ۹. مقایسه نتایج پژوهش حاضر برای تغییرات Q_c بر حسب فرکانس در مقایسه با مطالعه هاووسکوف و همکاران (۲۰۱۶) در سایر مناطق جهان.

در این مطالعه از مرکز لرزه‌نگاری کشوری، مرکز ملی شبکه لرزه‌نگاری باند پهن ایران و شبکه لرزه‌نگاری باند پهن دانشگاه فردوسی مشهد به دلیل در اختیار قرار دادن لرزه‌نگاشت‌های زمین لرزه‌های شرق و شمال شرق کشور صمیمانه سپاسگزاری می‌شود. از داوران محترم و سردبیر محترم مجله که با پیشنهادهای خود باعث ارتقاء کیفیت مقاله شده اند، صمیمانه قدردانی می‌شود. نویسنده اول به عنوان پژوهشگر پسادکترا از حمایت مالی صندوق حمایت از پژوهشگران و فناوران کشور (INSF) به شماره طرح ۹۹۰۲۸۴۹۲ برخوردار بوده است.

منابع

- Ahmadvazdeh, S., Parolai, S., Javan Doloei, G., and Oth, A., 2017, Attenuation characteristics, source parameters and site effects from inversion of S waves of the March 31, 2006 Silakhor aftershocks: Annals of Geophysics, **60**(6), 1-15, DOI: 10.4401/ag-7520.
- Ahmadvazdeh, S., Javan Doloei, G., Parolai, S., Oth, A., 2019, Non-parametric spectral modelling of source parameters, path attenuation and site effects from broad-band waveforms of the Alborz earthquakes (2005–2017): Geophysical Journal International, **219**(3), 1514-1531, DOI: 10.1093/gji/ggz377.
- Ahmadvazdeh Irandoost, M., Sobouti, F., and Rahimi, H., 2016, Lateral and depth variations of coda Q in the Zagros region of Iran: Journal of Seismology, **20**(1), 197-211, DOI: 10.1007/s10950-015-9520-1.
- Aki, K., and Chouet, B., 1975, Origin of coda waves: Source, attenuation and scattering effects: Journal of Geophysical Research, **80**(23), 3322–3342.
- Aki, K., 1980, Scattering and attenuation of shear waves in the lithosphere: Journal of Geophysical Research: Solid Earth, **85**(B11), 6496-6504.
- Alikhani, E., Rahimi, H., 2015, Estimation quality factor of Coda wave in the northeast of Iran: Journal of the Earth and Space Physics, 41(1), 25-33, (Extended Abstract in English). DOI: 10.22059/JESPHYS.2015.53420.
- Amiri Fard, R., Javan-Doloei, G., Farrokhi, M., Rahimi, H., and Ma'hood, M., 2020, Coda wave attenuation's dependency on Lapse time and frequency in west of Iran plateau using

۶ نتیجه‌گیری

در این مطالعه تأثیر پارامترهای مختلف در تعیین ضریب کیفیت امواج دنباله‌ای بررسی شد. برای این منظور داده‌های سه شبکه لرزه‌نگاری در سال‌های ۲۰۱۲ تا ۲۰۲۰ با یکدیگر تلفیق و پردازش شد. پارامتر کیفیت امواج دنباله‌ای برای منطقه شرق و شمال شرق ایران با استفاده از پارامترهای مرجع این پژوهش برابر با $Q_c = 125f^{0.76}$ برآورد شده است. برای مقایسه نتایج با سایر مطالعات، از پارامترهای مرجع پیشنهادی هاووسکوف و همکاران (۲۰۱۶) نیز برای محاسبه رابطه امواج کدا استفاده شده است که رابطه آن به صورت $Q_c = 90f^{0.87}$ است.

با درنظر گرفتن مقدار Q_0 در مناطق فعال زمین‌ساختی ($Q_0 < 200$) در مقایسه با مناطق پایدار (برای مثال $Q_0 > 600$) (یون و همکاران، ۲۰۰۷ و فورد و همکاران، ۲۰۰۸) ملاحظه می‌شود مقادیر تخمین‌زده شده Q_0 در این مطالعه از نظر زمین‌ساختی در محدوده سایر مناطق فعال جهان است و با مطالعات صورت گرفته برای نواحی فعال زمین‌ساختی دیگر نقاط ایران نیز همخوانی دارد؛ برای مثال نتایج پارامترهای بهینه این پژوهش با نتایج مطالعه علیخانی و رحیمی (۲۰۱۵) برای شمال شرق ایران ($Q_c = 120f^{0.11}$)، معهود و حمزه لو (۲۰۰۹) برای شرق ایران ($Q_c = 101f^{0.94}$) و سفری و همکاران (۲۰۲۰) برای منطقه فریمان ($Q_c = 66f^{0.84}$) تطابق خوبی دارد. بدیهی است، نتایج محاسبه ضریب کیفیت به عوامل مختلفی از جمله زمان گذشت، پهنه‌ی باند فیلتر، پارامتر گسترش هندسی، فاصله روم‌کزی و... وابسته است؛ بنابراین مقایسه دقیق تنها زمانی امکان‌پذیر است که پارامترهای مورد استفاده در روابط مختلف مشابه داشته باشند. استفاده از روش و پارامترهای پردازش مشابه، امکان اظهارنظر را درباره تفاوت‌های زمین‌ساختی مناطق مختلف هموارتر می‌کند.

تقدیر و تشکر

- local earthquakes: *Annals of Geophysics*, **63**(4), SE437-SE437.
- Ansaripour, M., Habib, R., 2015, Coda waves application in Obtaining the path and source effects: Proceedings of the 7th International Conference on Seismology & Earthquake Engineering, 69-70, 18-15 May 2015, Tehran.
- Bianco, F., Castellano, M., Del Pezzo, E., and Ibáñez, J. M., 1999, Attenuation of short-period seismic waves at Mt. Vesuvius, Italy: *Geophysical Journal International*, **138**, 67–76.
- Del Pezzo, E., De Natale, G., Scarella, G., and Zollo, A., 1985, Qc of three component seismograms of volcanic microearthquakes at Campi Flegrei volcanic area—southern Italy, *Pure Appl. Geophys.* **123**, 683–689.
- Ford, S. R., Dreger, D. S., Mayeda, K., Walter, W. R., Malagnini, L., and Phillips, W. S., 2008, Regional attenuation in northern California: A comparison of five 1D Q methods: *Bulletin of the Seismological Society of America*, **98**(4), 2033-2046.
- Gusev, A. A., 1995, Vertical profile of turbidity and coda Q: *Geophysical Journal International*, **123**(3), 665-672.
- Havskov, J., Sørensen, M. B., Vales, D., Özyazoğlu, M., Sánchez, G., and Li, B., 2016, Coda Q in different tectonic areas, influence of processing parameters: *Bulletin of the Seismological Society of America*, **106**(3), 956-970.
- Hellweg, M., Spudich, P., Fletcher, J. B., and Baker, L. M., 1995, Stability of coda Q in the region of Parkfield, California: View from the US Geological Survey Parkfield dense seismograph array: *Journal of Geophysical Research: Solid Earth*, **100**(B2), 2089-2102.
- Khosravi, H., Javan Doloei, G., Tatar, M., Safari, M., 2019, Analysis of the Do-Ghaleh Fariman Mw6 Earthquake on 5 April 2017 and its aftershocks based on IIEES local Seismic Network: *Journal of the Earth and Space Physics*, **45**(3), 487-505, (Extended abstract in English).
DOI:10.22059/JESPHYS.2019.264187.10070 32.
- Ma'hood, M., and Hamzehloo, H., 2009, Estimation of coda wave attenuation in East Central Iran: *Journal of Seismology*, **13**(1), 125-139, DOI: 10.1007/s10950-008-9130-2.
- Mitchell, B. J., Cong, L., and Jemberie, A. L., 2014, Continent-wide maps of Lg coda Q for North America and their relationship to crustal structure and evolution: *Bulletin of the Seismological Society of America*, **105**(1), 409-419.
- Motaghi, K., Zarunizadeh, Z., Rahimi, H., Ghods, A.R., 2017, Estimation of Coda wave attenuation in NW Iran: *Iranian Journal of Geophysics*, **11**(1), 156-170, (Extended Abstract in English).
- Naghavi, M., Habib, R., Moradi, A., 2017, Estimation of compressional and shear wave quality factor in North West of Iranian Plateau: *Iranian Journal of Geophysics*, **10**(4), 97-111.
- Najafipour N., Rahimi, H., 2015, Estimation of quality factor of coda waves in Makran region, southeast of Iran: *Iranian Journal of Geophysics*, **9**(2), 96-116, (Extended Abstract in English). DOI: 20.1001.1.20080336.1394.9.2.8.8.
- Rahimi, H., and Hamzehloo, H., 2008, Lapse time and frequency-dependent attenuation of coda waves in the Zagros continental collision zone in Southwestern Iran: *Journal of Geophysics and Engineering*, **5**(2), 173–185.
- Rahimi, H., Motaghi, K., Mukhopadhyay, S., and Hamzehloo, H., 2010, Variation of coda wave attenuation in the Alborz region and central Iran: *Geophysical Journal International*, **181**(3), 1643–1654.
- Safari, M., Doloei, G.J., Mahood, M., Khosravi, H., Tatar, M., 2020, Estimation of Seismic Wave Attenuation in Fariman Region: *Bulletin of Earthquake Science and Engineering*, **7**(3), 1-12, (Extended Abstract in English).
- Sato, H., Fehler, M. C., and Maeda, T., 2012, *Seismic Wave Propagation and Scattering in the Heterogeneous Earth*: Springer.
- Wood Gold, C. R. D., 1994, Coda Q in the Charlevoix, Quebec, region: Lapse-time dependence and spatial and temporal comparisons: *Bulletin of the Seismological Society of America*, **84**(4), 1123–1131.
- Yasoubi Rostami, H., Mahood, M., and Ansari, A., 2014, Qc estimation for North-West Iran: Proceedings of 16th Iranian Conference on Geophysics, 466-470, 12-14 May 2014, Tehran, National Iranian Geophysical Society.
- Yun, S., Lee, W.S., Lee, K., and Noh, M.H., 2007, Spatial distribution of coda Q in South Korea: *Bulletin of the Seismological Society of America*, **97**(3), 1012–1018.

Investigation of frequency dependence of seismic coda wave quality factor in the east-northeast of Iran

Somayeh Ahmadzadeh¹, Farahnaz Mansouri Ghavamabadi² and Gholam Javan Doloei^{3*}

¹Postdoctoral Researcher, International Institute of Earthquake Engineering and Seismology, Tehran, Iran

²M.Sc., International Institute of Earthquake Engineering and Seismology, Tehran, Iran

³Associate Professor, International Institute of Earthquake Engineering and Seismology, Tehran, Iran

(Received: 10 May 2022, Accepted: 11 September 2022)

Summary

In this study, coda wave decay parameter, coda Q, is evaluated using waveform data of three networks in the east and northeast of Iran based on the single-scattering method. The database includes 300 earthquakes with magnitudes in the range of 2.5-6.0 recorded in 2012 to 2020. The waveforms were gathered from the Iranain Seismological Center (IRSC) of the University of Tehran, National center of Broadband Seismic Network of Iran (BIN) at the International Institute of Earthquake Engineering and Seismology (IIEES) and Seismological Earthquake Research Center of the Ferdowsi University of Mashhad (FUMSN). The coda Q for the east-northeast of Iran was calculated as $Q_c = 125f^{0.76}$ for a lapse time of 40s and optimal parameters of our database. We also evaluated coda Q based on parameters proposed by Havskov et al. (2016) as $Q_c = 90f^{0.87}$ and as can be seen, the difference in the parameters leads to the different results. Furthermore, the effect of different parameters in estimating the quality factor of coda waves was investigated. The frequency dependence of the wave attenuation coefficient is evident in this region. Considering the 10-year interval of earthquakes used in the east and northeast of Iran in this study, the obtained results indicate high seismicity rate and continuous seismic activity in the study area.

Recently some studies have been conducted to study the seismic wave propagation effects in this region. For example, Safari et al. (2020) investigated the attenuation of seismic waves in the Fariman region based on 122 local earthquakes recorded in a temporary dense seismic network of IIEES. Based on this research, the frequency relationship $Q_c = 66f^{0.84}$ for a lapse time of 20s was obtained.

The results of the quality factor studies depend on tectonic regime of the study area and various proccesing factors, such as: the lapse time, filter bandwidth, the window length, etc. Therefore, accurate comparison is only possible when similar parameters are considered in different studies.

We compared our results with several studies in different regions of Iran and other parts of the world. The estimated values of Q_0 in this area are in the same range of active regions of the world ($Q_0 < 200$) and is near to the results of studies conducted for another active regions of Iran. The results of our study are in good agreement with previous studies and indicate the strong frequency dependency in attenuation of seismic waves in northeast of Iran Plateau. The observed small differences in coda Q estimates originate from differnet tectonic rigions and processing parameters.

Keywords: Coda waves, quality factor, single scattering method, waveform, earthquake

*Corresponding author:

javandoloei@iiees.ac.ir